



УДК 517.977.5

© 2013 г. **Н.П. Семичевская**, канд. техн. наук  
(Амурский государственный университет, Благовещенск)

## НЕЛИНЕЙНЫЕ РОБАСТНЫЕ АЛГОРИТМЫ СИСТЕМЫ УПРАВЛЕНИЯ С ЯВНЫМ ЭТАЛОНОМ И СТАЦИОНАРНЫМ НАБЛЮДАТЕЛЕМ\*

В работе рассматривается процедура синтеза нелинейных робастных алгоритмов для систем управления неустойчивыми нелинейными скалярными объектами с относительной степенью  $\rho = n - m > 1$  с использованием стационарного наблюдателя в системе с явно-неявной моделью.

**Ключевые слова:** нелинейный робастный закон управления, явно-неявная эталонная модель, гиперустойчивость системы управления.

### Введение

При проектировании робастных или адаптивных систем, в которых желаемое поведение объекта управления формируется с помощью эталонной модели, приходится сталкиваться с проблемой недоступных измерению переменных состояния объекта управления.

Один из подходов к решению такой проблемы связан с использованием наблюдателей [1 – 3], позволяющих получать оценки переменных состояния объекта управления. В работе [2] предложена методика построения наблюдателя по быстродействующей эталонной модели системы управления. В работах [4 – 7] в рамках применения критерия гиперустойчивости и способа структурного возмущения основного контура рассмотрены вопросы построения систем управления скалярными объектами с относительным порядком передаточных функций  $\rho > 1$ .

В настоящей работе при решении задачи синтеза системы управления скалярным нелинейным объектом предлагается использовать стационарный наблюдатель полного порядка и явно-неявную эталонную модель (ЯНЭМ).

При этом, следуя [7], явный эталон будет задавать желаемую динамику основного контура управления, а стационарный наблюдатель будет получать не только оценки переменных состояния объекта, но и участвовать в формировании неявной части эталонной модели.

В результате совместное действие явной и неявной частей эталона будет задавать желаемое поведение объекта управления.

---

\* Работа выполнена по государственному заданию Министерства образования и науки РФ в рамках проекта 7.7911.2013 «Проблемы автоматического управления техническими системами в условиях неопределенности».

## Постановка задачи

В условиях расширенной априорной параметрической неопределенности рассматривается нелинейный объект управления, динамика которого в пространстве состояний описывается уравнениями:

$$\frac{dx(t)}{dt} = A_\xi(x, t) + bu(t) + f_\xi(t), \quad (1)$$

$$y(t) = C^T x(t) = x_1(t), \quad \xi \in \Xi,$$

где  $x^T(t) = [x_1(t), \dots, x_n(t)]$  – вектор состояния;  $u(t)$  и  $y(t)$  – скалярные управление и выход;  $f_\xi^T(t) = [0, \dots, 0, f_n(t)]$  – вектор возмущения, такой, что  $|f_n(t)| \leq f_0^2 = \text{const}$ ;  $b = [0, \dots, 0, 1]$  – стационарная матрица управления;  $C^T$  – матрица выхода;  $\xi$  – набор неизвестных параметров, принадлежащих известному множеству  $\Xi$ .

Предполагается, что

$$A_\xi(x, t) = A(\xi) \cdot x(t) + b\delta_\xi(x_1(t)),$$

$$A(\xi) = A = A_M + b\chi_0^T(\xi), \quad \chi_0(\xi) = \chi_0, \quad (2)$$

$$\delta_\xi(y(t)) = \delta_\xi(x_1(t)) = |x_1(t)|^{q(\xi)} \cdot \text{sign}(x_1(t)), \quad q(\xi) = q \geq 0, \quad \xi \in \Xi,$$

где  $A_M$  – желаемая (гурвицева) матрица явного эталона;  $b$ ,  $\chi_0$  и  $q$  – соответственно некоторые стационарные векторы и скаляр. При этом  $\rho$  – относительный порядок объекта управления (1), преобразованного с учетом (2), будет больше единицы, т.е.  $\rho = \text{deg}Q(s) - \text{deg}P(s) = n - m > 1$ .

Пусть требуемая динамика в системе с ЯНЭМ задана уравнениями:

$$\frac{dz_M(t)}{dt} = -a_0 z_M(t) + b_0 r(t), \quad (3)$$

$$y_M(t) = z_M(t),$$

где  $y_M(t)$ ,  $z(t) \in R$  – выход эталона;  $r(t)$  – задающее воздействие;  $a_0, b_0 = \text{const}$ .

В работе [1] описана процедура представления передаточной функции в эквивалентной форме записи:

$$W_{\text{БЭМ}}(s) = \frac{a_0}{s + a_0} = \frac{a_0(s + a_0)^m}{(s + a_0)^n}, \quad (4)$$

$$(s + a_0)^k = s^k + \sum_{i=1}^{k-1} \theta_i a_0^i s^{k-i} + a_0^k, \quad \theta_i = \frac{k!}{(k-i)!i!}$$

и определены собственные числа матрицы  $A_M$  из соотношения  $\det(sE_n - A_M) = (s + a_0)^n$ , а компоненты вектора  $g$  из условия  $g^T (sE_n - A_M)^+ b_M = (s + a_0)^{n-1}$ , где  $(\cdot)^+$  присоединенная матрица;  $g^T = (g_1, g_2, \dots, g_n) = (a_0^{n-1}, \theta_{n-2} a_0^{n-2}, \dots, 1)$  – коэффициенты вектора  $g$ , которые не рассчитываются подобно [1], а определяются заранее, на этапе выбора желаемой динамики для системы (1) – (4). Тогда математическую модель явного эталона (ЯЭМ) можно записать в виде:

$$\frac{dx_M(t)}{dt} = A_M x_M(t) + b_M r(t), \quad (5)$$

$$v_M(t) = z_M(t) = g^T x_M(t),$$

где  $x_M(t) \in R^n$  – вектор состояния эталонной модели;  $v_M(t) \in R$  – обобщенный выход эталона. Очевидно, что передаточная функция ЯЭМ вида (5) будет записана:

$$W_{\text{ЯЭМ}}(s) = g^T (sE_n - A_M)^{-1} b_M = \frac{g^T (sE_n - A_M)^+ b_M}{\det(sE_n - A_M)} = \frac{a_0}{s + a_0}.$$

За исключением переменной  $x_1(t)$ , другие компоненты вектора состояний  $x(t)$  измерению недоступны, – следовательно, обеспечить работоспособность системы управления можно, только осуществив восстановление недостающих переменных состояния. Оценки компонент вектора  $x(t)$  будем проводить по наблюдениям за текущим изменением выхода объекта  $y(t)$ , с помощью стационарного наблюдателя полного порядка [1, 3]. Учитывая, что числитель передаточной функции используемого наблюдателя полного порядка, аналогично [7], неявно формирует знаменатель неявного эталона, его можно назвать "эталонным" наблюдателем, математическое описание которого будет иметь вид

$$\frac{d\bar{x}(t)}{dt} = D\bar{x}(t) + bu(t) + Ny(t), \quad (6)$$

$$\bar{y}(t) = C^T \bar{x}(t), \quad \bar{v}(t) = g^T \bar{y}(t), \quad (7)$$

где  $\bar{x}(t) \in R^n$  – вектор состояния наблюдателя;  $\bar{v}(t) \in R$  – обобщенный выход наблюдателя;  $D = (A_M - NC^T)$  – гурвицева матрица состояния наблюдателя, собственные числа которой определяются заданием соответствующей матрицы  $N$ ; значения элементов матрицы  $N$  вычисляются из условия равенства соответствующих коэффициентов полиномов  $\det(sE_n - A_M)$  и  $\det(sE_n - A_M + NC^T)$ ;  $g = \tilde{g}K$ ;  $K$  – коэффициент, значение которого обеспечивает согласование переменных  $\bar{v}(t)$  и  $v_M(t)$  в установившемся режиме;  $K = \lim_{s \rightarrow 0} g^T (sE_n - D)^{-1} N = -g^T D^{-1} N$ .

Если для системы управления (1) – (3) ввести в рассмотрение ошибку  $e(t) = x_M(t) - x(t)$  и записать относительно ее эквивалентное математическое описание вида:

$$\frac{de(t)}{dt} = A_M e(t) + b\mu(t), \quad (8)$$

$$v(t) = g^T e(t) = g^T (x_M(t) - x(t)), \quad (9)$$

$$\mu(t) = r(t) - u(t) - \chi_0^T x(t) - \delta(y(t)) - f_n(t),$$

где  $v(t)$  – обобщенный выход системы управления,  $\mu(t)$  – видоизмененное управление, то оказывается, что система (8) технически не реализуема, поскольку переменные состояния  $x(t)$  недоступны измерению.

Как показано в работе [2], чтобы обеспечить быстрый темп стабилизации невязки  $\hat{e}(t) = (x(t) - \hat{x}(t))$ , корни характеристического уравнения  $(sE_n - D)$  должны лежать существенно левее корней характеристического уравнения  $(sE_n - A_M)$ , что структурно связывает систему наблюдения с эталонной моделью и обеспечивает асимптотическое поведение невязки  $\lim_{t \rightarrow \infty} \hat{e}(t) = 0$ , а это позволяет в системе управления (1), (3) заменить вектор состояния  $x(t)$  его оценкой и получить

технически реализуемые уравнения обобщенного выхода и видоизмененного управления

$$\begin{aligned} v(t) &\cong g^T \bar{e}(t) = g^T (x_M(t) - \bar{x}(t)), \\ \mu(t) &\cong r(t) - u(t) - \chi_0^T \bar{x}(t) - \delta(\bar{y}(t)) - f_n(t). \end{aligned} \quad (10)$$

Следовательно, если при решении соответствующей задачи синтеза алгоритмов системы управления (8), (9) использовать уравнения (10) и наблюдатель (6), (7), то алгоритмы, полученные для системы управления (8), (9), будут применимы и для исходной системы (1) – (3) и (6) – (8), (10), что показано в работе [1].

*Требуется* для системы (6), (8), (10), функционирующей в условиях априорной неопределенности параметров  $\xi \in \Xi$  и начальных условий  $x(0)$ , определить явный вид закона управления  $u(t) = u(r(t), \bar{x}(t))$  таким образом, чтобы имело место выполнение предельных соотношений

$$\begin{aligned} \lim_{t \rightarrow \infty} \|x_M(t) - \bar{x}(t)\| &\cong \lim_{t \rightarrow \infty} \|x_M(t) - x(t)\| \leq \delta_x^2, \\ \lim_{t \rightarrow \infty} |y_M(t) - \bar{y}(t)| &\cong \lim_{t \rightarrow \infty} |y_M(t) - y(t)| \leq \delta_y^2, \end{aligned} \quad (11)$$

где  $\delta_x^2, \delta_y^2 = const$  – некоторые относительно малые числа.

### Синтез алгоритмов робастного управления

Синтез закона управления будем проводить поэтапно на основе критерия гиперустойчивости.

*Первый этап.* Эквивалентное математическое описание системы управления будем рассматривать в виде

$$\begin{aligned} \frac{d\bar{e}(t)}{dt} &= A_M \bar{e}(t) + b\mu(t), \\ v(t) &= g^T \bar{e}(t) = g^T (x_M(t) - \bar{x}(t)), \\ \mu(t) &= r(t) - u(t) - \chi_0^T \bar{x}(t) - \delta(\bar{y}(t)) - \tilde{f}_n(t). \end{aligned} \quad (12)$$

*Второй этап.* Очевидно, что условие строгой положительной определенности для вещественной части частотной передаточной функции линейной стационарной части системы (12) выполнено, поскольку для апериодического звена первого порядка всегда имеет место частотное неравенство

$$\operatorname{Re} W(j\omega) = \operatorname{Re} \{g^T (j\omega E_n - A_M)^{-1} b_M\} = \frac{a_0}{\sqrt{\omega^2 + a_0^2}} > 0, \quad \forall \omega \in (-\infty; +\infty). \quad (13)$$

*Третий этап.* Разрешение модифицированного интегрального неравенства В.М. Попова (МИНП), записанного в виде

$$\eta(0, t) = -\int_0^t \mu(s) \nu(s) Q(s) ds \geq -\gamma_0^2 = const, \quad \forall t > 0, \quad (14)$$

рассматриваемого относительно нелинейной нестационарной части системы (12), связано с синтезом явного вида закона управления  $u(t)$ .

Для упрощения процедуры построения алгоритма  $u(t)$  представим его в виде пяти составляющих суммы и перепишем модифицированное неравенство По-

пова следующим образом:

$$\eta(0,t) = -\int_0^t [r(s) - f_n(s) - \chi_0^T \bar{x}(s) - \delta(\bar{x}_1(s)) - u(s)] \nu(s) Q_i(s) ds = \sum_{i=1}^5 \eta_i(0,t).$$

Оценим каждое из слагаемых:

$$\begin{aligned} \eta_1(0,t) &= -\int_0^t (r(s) + f_n(s)) \nu(s) Q_1(s) ds = \\ &= -\int_0^t (r(s) + f_n(s)) \nu(s) |\nu(s)| ds \pm \gamma_1 \int_0^t |r(s) + f_0| |\nu(s)|^2 ds \geq \\ &\geq -\gamma_1 \int_0^t |r(s) + f_0| |\nu(s)|^2 ds; \end{aligned} \quad (15)$$

$$\begin{aligned} \eta_2(0,t) &= -\int_0^t \chi_0^T \bar{x}(s) \nu(s) Q_2(s) ds = \\ &= \int_0^t \chi_0^T \bar{x}(s) \nu(s) |\nu(s)| ds \pm \int_0^t \sum_{i=1}^n \gamma_{2i} |\bar{x}_i(s)| |\nu(s)|^2 ds \geq \int_0^t \sum_{i=1}^n \gamma_{2i} |\bar{x}_i(s)| |\nu(s)|^2 ds; \end{aligned} \quad (16)$$

$$\begin{aligned} \eta_3(0,t) &= \int_0^t \delta(\bar{x}_1(s)) \nu(s) Q_3(s) ds = \\ &= \int_0^t |\bar{x}_1(s)|^\alpha \text{sign}(\bar{x}_1) \nu(s) |\nu(s)| ds \pm \gamma_3 \int_0^t (|\bar{x}_1(s)|^{\alpha+1} + 1) |\nu(s)|^2 ds \geq \\ &\geq \gamma_3 \int_0^t (|\bar{x}_1(s)|^{\alpha+1} + 1) |\nu(s)|^2 ds; \end{aligned} \quad (17)$$

$$\eta_4(0,t) = \int_0^t u(s) \nu(s) Q_4(s) ds = \int_0^t u(s) \nu(s) ds. \quad (18)$$

В результате суммирования оценок (14) – (17) получим ИНП:

$$\begin{aligned} \eta(0,t) &\geq \int_0^t [u(s) \text{sign}(\nu(s)) - \gamma_1 |r(s) + f_0| |\nu(s)| - \sum_{i=1}^n \gamma_{2i} |\bar{x}_i(s)| |\nu(s)| - \\ &- \gamma_3 (|\bar{x}_1(s)|^{\alpha+1} + 1) |\nu(s)|] \nu(s) ds. \end{aligned}$$

Далее, приравнивая к нулю выражение, стоящее в квадратных скобках, учитывая необходимость выполнения требования (13), получим явный вид алгоритма управления:

$$u(t) = \sum_{j=1}^5 u_j(t) = \gamma_1 |r(t) + f_0| \nu(t) + \sum_{i=1}^n \gamma_{2i} |\bar{x}_i(t)| \nu(t) + \gamma_3 (|\bar{x}_1(t)|^{\alpha+1} + 1) \nu(t). \quad (19)$$

*Четвертый этап.* Покажем, что в системе (6) – (8), (10) достижимо выполнение поставленных целей управления (11).

Действительно, поскольку для системы (8), (10), использующей наблюдатель (6), (7), выполнены частотное и интегральное неравенства (13) и (14), систе-

ма управления (6) – (8), (10) гиперустойчива, следовательно, достижимы предельные условия (11). Кроме того, поскольку цели управления (11) имеют место при любых начальных значениях  $x(0)$  и в условиях априорной неопределенности  $\xi \in \Xi$ , то система управления (6) – (8), (10) является робастной в рассматриваемом классе  $\Xi$ .

Поскольку система (6), (8), (10) и система (8) – (10), (6), (7), (19) или (1), (3), (5), (6), (7), (19) эквивалентны, то они также будут робастными в заданном классе  $\Xi$  и в них будут достижимыми и цели управления (11).

### Имитационное моделирование робастной системы управления

В описании нелинейного динамического объекта (1), (2) нелинейная векторная функция задана:

$$A(x, t) = \begin{pmatrix} x_2(t) \\ x_3(t) \\ -2.5x_1(t) + 0.5x_2(t) - 8.5x_3(t) + |x_1(t)|^{0.3} \text{sign}(x_1(t)) \end{pmatrix},$$

объект был подвержен постоянно действующему возмущению

$$f_3(t) = 0.5 \sin(0.08t), \quad |f_3(t)| \leq f_0^2 = 0.5 = \text{const};$$

задающее воздействие  $r(t)$  в системе управления имеет следующий вид:

$$T \frac{dr(t)}{dt} = r(t) + w_i(t), \quad T = \text{const},$$

$$w_1(t) = \frac{2}{3} |0.5 - \cos(0.06\pi t)|, \quad w_2(t) = 0.6 + \cos(0.05t) \sin(0.025t).$$

Для ЯНЭМ (3) коэффициент  $a_0$  выбран со значением равным 1, что соответствует заданию для матрицы  $A_M$  собственных чисел (5):

$$s_{M1} = s_{M2} = s_{M3} = 2500a_0 = -2500.$$

Для формирования обобщенного выхода системы вектор  $g$  сформирован как  $g^T = [g_1, g_2, g_3] = [a_0^2, 2a_0, 1]$ .

Для наблюдателя (6), (7) собственные числа матрицы  $D$  заданы лежащими существенно левее собственных чисел матрицы  $A_M$ .

При таких матрицах  $D$ ,  $A_M$  и известной матрице  $C^T$  для выполнения условия  $\det(sE_n - D) = \det(sE_n - A_M + NC^T)$  были рассчитаны значения как элементов матрицы входа наблюдателя  $N^T = [n_1, n_2, n_3] = (135, 5400, 33750)$ , так и коэффициента согласования  $K$ , а также значения элементов вектора  $\bar{g}^T$ , необходимых для вычисления обобщенного выхода наблюдателя  $\bar{v}(t)$ , которые были следующими:

$$K = -g^T D^{-1} N = 0,0549;$$

$$\bar{g}^T = g^T K^{-1} = (455,3734; 182,1494; 18,2149).$$

Коэффициенты робастного закона управления (19) выбраны со значениями:  $\gamma_1 = 400$ ,  $\gamma_{21} = 500$ ,  $\gamma_{22} = 2500$ ,  $\gamma_{23} = 3500$ ,  $\gamma_3 = 150$ ,  $f_0 = 0.5..$

На рис. 1 и 2 представлены графики соответственно переменных  $y(t)$ ,  $y_M(t)$  и  $(y_M(t) - y(t))$ , на рис. 3 – динамика составляющих робастного закона управления (19).

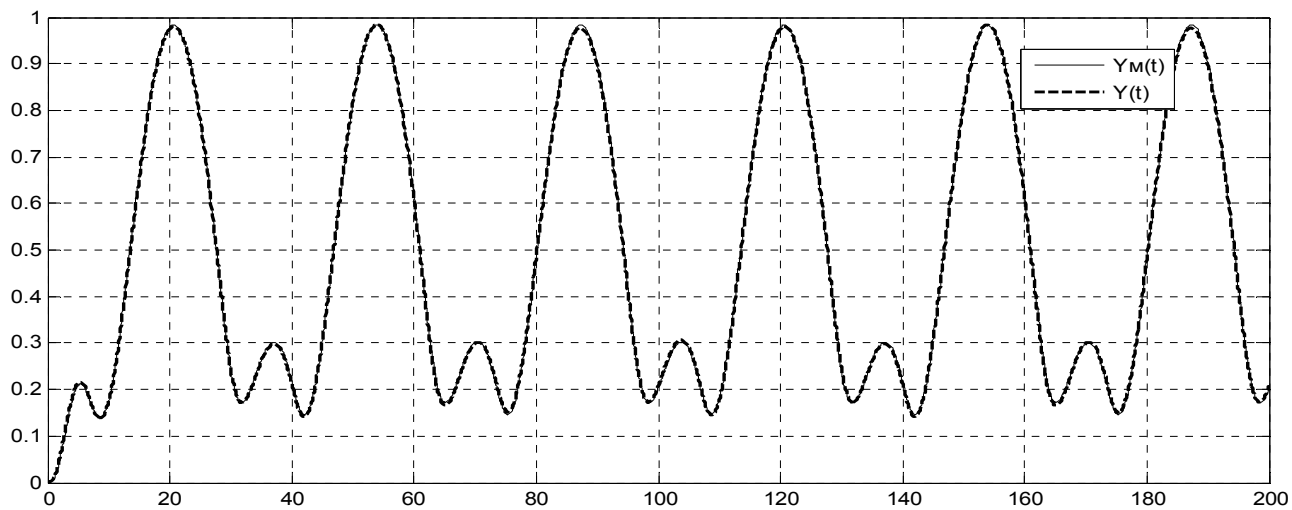


Рис. 1. Динамика выхода объекта управления  $y(t)$  и его эталона  $y_M(t)$ .

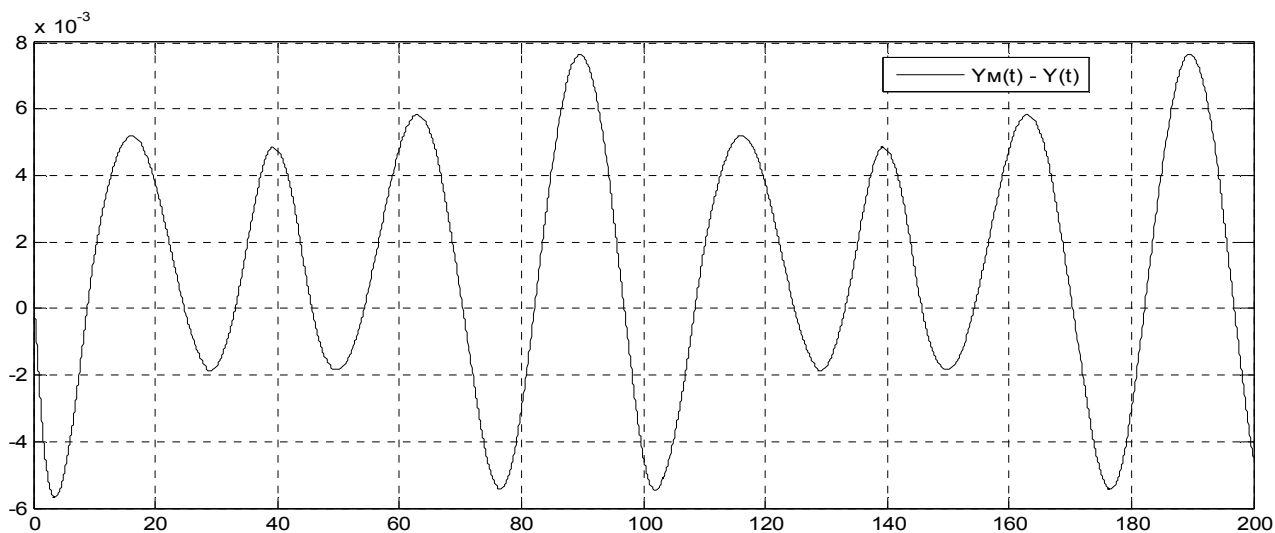


Рис. 2. Динамика ошибки рассогласования  $(y_M(t) - y(t))$ .

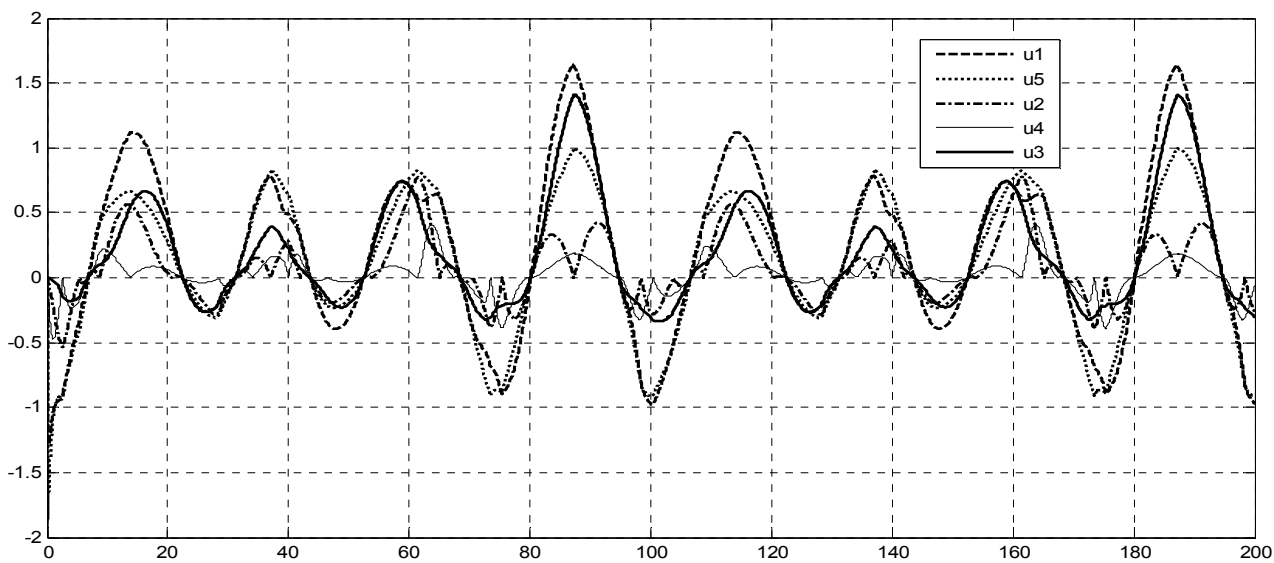


Рис. 3. Динамика составляющих робастного закона управления (19).



### Заключение

Применение наблюдателя в системе робастного управления с ЯНЭМ позволяет не только получить оценки переменных состояния нелинейного объекта, но и задать неявную часть эталона, которая формирует (совместно с явной частью эталона) эталонную модель минимальной структурной сложности для объекта управления.

### ЛИТЕРАТУРА

1. Еремин Е.Л., Кван Н.В., Семичевская Н.П. Робастное управление нелинейным объектом со стационарным наблюдателем и быстродействующей эталонной моделью // Информатика и системы управления. – 2008. – №4(18). – С. 122-130.
2. Краснова С.А. Каскадный синтез наблюдателей состояния динамических систем: Автореф. дис. д-ра техн. наук – М.: ИПУ им. В.А. Трапезникова, 2003.
3. Еремин Е.Л., Кван Н.В., Семичевская Н.П., Теличенко Д.А. Нелинейное робастное управление сложными динамическими объектами. – Благовещенск: Амурский гос. ун-т, 2011.
4. Еремин Е.Л. L-диссипативность гиперустойчивой системы управления при структурном возмущении. I // Информатика и системы управления. – 2006. – № 2(12). – С.94-101.
5. Еремин Е.Л. L-диссипативность гиперустойчивой системы управления при структурном возмущении. II // Информатика и системы управления. – 2007. – № 1(13). – С.130-139.
6. Еремин Е.Л. L-диссипативность гиперустойчивой системы управления при структурном возмущении. III. // Информатика и системы управления. – 2007. – № 2(14). – С.153-164.
7. Еремин Е.Л. L-диссипативность гиперустойчивой системы управления при структурном возмущении. IV // Информатика и системы управления. – 2013. – №2(36). – С. 100-106.

*Статья представлена к публикации членом редколлегии Е.Л. Ереминым.*

*E-mail:*

*Семичевская Наталья Петровна – npsem@mail.ru.*

УДК 684.511

© 2013 г. **Л.В. Чепак**, канд. техн. наук  
(Амурский государственный университет, Благовещенск)

### РОБАСТНОЕ УПРАВЛЕНИЕ АФФИННОЙ СИСТЕМОЙ ПО ВЫХОДНОЙ ПЕРЕМЕННОЙ\*

Рассматривается синтез робастного закона управления для аффинной системы с недоступными прямым измерениям переменными состояниями. Предложенный алгоритм управления позволяет скомпенсировать в следящей системе внешние и параметрические возмущения с требуемой точностью.

**Ключевые слова:** аффинная система, робастное управление, наблюдатель, критерий гиперустойчивости.

---

\* Работа выполнена по государственному заданию Министерства образования и науки РФ в рамках проекта 7.7911.2013 «Проблемы автоматического управления техническими системами в условиях неопределенности».